

Table 2. Equations of the planes and deviations of atoms from the planes

*A*: TCPA-ring plane; *B*: benzene-ring plane; *C*: furan-ring plane

Equations of the planes

$$\begin{aligned} A &= 0.4714X - 0.5934Y - 0.6524Z + 4.2533 = 0 \\ B &= 0.4807X - 0.5967Y - 0.6426Z + 4.1664 = 0 \\ C &= 0.4611X - 0.5896Y - 0.6632Z + 4.3071 = 0 \end{aligned}$$

Deviations of atoms from the planes ( $\text{\AA} \times 10^3$ )

	<i>A</i>	<i>B</i>	<i>C</i>		<i>A</i>	<i>B</i>	<i>C</i>
Cl(1)	36	30	0	C(1)	19*	-2*	1*
Cl(2)	-4	29	-81	C(2)	8*	4*	-28
Cl(3)	-110	-76	-187	C(3)	-12*	0*	-66
Cl(4)	51	47	15	C(4)	-18*	-5*	-72
O(1)	-14*	-66	2*	C(5)	10*	6*	-26
O(2)	-46	-92	-34	C(6)	18*	-3*	0*
O(3)	-63	-111	-52	C(7)	-5*	-46	-1*
				C(8)	-6*	-47	-2*

Orthogonal coordinates, *X*, *Y* and *Z* (in  $\text{\AA}$ ), are defined parallel to the *a*, *b* and *c\** axial directions. Least-squares planes were calculated through the atoms marked with asterisks. E.s.d.'s in the atom-plane distances are about 0.001  $\text{\AA}$  for Cl and 0.003–0.004  $\text{\AA}$  for C and O atoms.

It is noticeable that all the chemically equivalent C–C and C–O bond lengths and angles are almost equal within the e.s.d.'s. This feature is similar to that in the furan ring of phthalic anhydride (Bates & Cutler, 1977), but different from that of a complexed TCPA molecule in naphthalene–TCPA (Wilkerson, Chodak & Strouse, 1975). The average C–Cl bond distance, 1.711  $\text{\AA}$ , is comparable to those of polychloroaromatic compounds in which the substituted Cl atoms occupy adjacent *ortho* positions to each other (Herb-

stein, 1979; Ito, Moriya, Kashino & Haisa, 1975; Brown & Strydom, 1974; Chu, Jeffrey & Sakurai, 1962).

Table 2 shows three least-squares planes about the TCPA molecule with the deviations of atoms from the planes. Each of the benzene and furan rings forms a fairly good plane. However, Cl atoms deviate much more than C atoms from the benzene plane. These deviations probably result from intramolecular steric repulsion, since strong intermolecular interactions do not exist about the Cl atoms: the shortest intermolecular Cl...Cl distances are 3.575 (1)  $\text{\AA}$  for Cl(3<sup>i</sup>)...Cl(4<sup>ii</sup>) and 3.544 (2)  $\text{\AA}$  for Cl(4<sup>i</sup>)...Cl(4<sup>ii</sup>) respectively [(i) *x,y,z*; (ii) 1 – *x*, 2 – *y*, 1 – *z*].

### References

- BATES, R. B. & CUTLER, R. S. (1977). *Acta Cryst.* **B33**, 893–895.
- BROWN, G. M. & STRYDOM, O. A. W. (1974). *Acta Cryst.* **B30**, 801–804.
- CHU, S., JEFFREY, G. A. & SAKURAI, T. (1962). *Acta Cryst.* **15**, 661–671.
- HAMILTON, W. C. (1959). *Acta Cryst.* **12**, 609–610.
- HERBSTINE, F. H. (1979). *Acta Cryst.* **B35**, 1661–1670.
- International Tables for X-ray Crystallography* (1974). Vol. IV. Birmingham: Kynoch Press.
- ITO, K., MORIYA, K., KASHINO, S. & HAISA, M. (1975). *Bull. Chem. Soc. Jpn.* **48**, 3078–3084.
- RUDMAN, R. (1971). *Acta Cryst.* **B27**, 262–269.
- SAKE GOWDA, D. S. & RUDMAN, R. (1982). *Acta Cryst.* **B38**, 2842–2845.
- UNICS (1967). *Universal Crystallographic Computation Program System*, edited by T. SAKURAI. Tokyo: Crystallographic Society of Japan.
- WILKERSON, A. K., CHODAK, J. B. & STROUSE, C. E. (1975). *J. Am. Chem. Soc.* **97**, 3000–3004.

*Acta Cryst.* (1982). **B38**, 2965–2968

## Complexe Moléculaire (2:1) d'Ethyl-13 $\beta$ Hydroxy-17 $\beta$ Dinor-18,19 17 $\alpha$ -Pregnatriène-4,9,11 Yne-20 One-3 et de Toluène

PAR JEAN DELETTRE, GENEVIÈVE LEPICARD ET JEAN-PAUL MORNON

Laboratoire de Minéralogie–Crystallographie, associé au CNRS, Université Pierre et Marie Curie, T16,  
4 place Jussieu, 75230 Paris CEDEX 05, France

(Reçu le 18 décembre 1979, accepté le 25 mai 1982)

**Abstract.**  $(\text{C}_{21}\text{H}_{24}\text{O}_2)_2 \cdot \text{C}_7\text{H}_8$ , monoclinic, space group  $P2_1$ ,  $a = 7.513$  (4),  $b = 21.150$  (8),  $c = 12.745$  (6)  $\text{\AA}$ ,  $\beta = 100.37$  (4) $^\circ$ ,  $Z = 4$ . The structure was solved by

0567-7408/82/112965-04\$01.00

direct methods. Full-matrix least-squares refinement with identical weights converged at  $R = 0.084$ ,  $R_w = 0.090$  for 3100 observed reflexions. The toluene

© 1982 International Union of Crystallography

molecule is in close contact with the *B* rings of the two independent steroid molecules and possesses a higher thermal vibration than that of the steroid molecules.

**Introduction.** Le présent stéroïde (RU2323) cristallise sous une autre forme, orthorhombe, non complexée, décrite dans un article antérieur (Deletré, Mornon & Lepicard, 1975). Ainsi, cinq conformères cristallographiquement indépendants ont pu être mis en évidence. Ils présentent d'importantes différences de conformation, caractéristique des stéroïdes insaturés *A*-4,9 et *A*-4,9,11, par exemple RU2010 (Lepicard, Deletré & Mornon, 1974) et RU2715 (Mornon, Lepicard & Deletré, 1983). Les propriétés biochimiques des stéroïdes *A*-4,9,11 sont par ailleurs remarquables puisque nombre d'entre eux sont capables de se fixer fortement sur les quatre récepteurs progestogène, androgène, minéralocorticoïde et glucocorticoïde (Deletré, Mornon, Lepicard, Ojasoo & Raynaud, 1980).

Les cristaux ont été obtenus par lente évaporation d'une solution d'éthanol contenant une faible proportion de toluène. Ils se présentent sous la forme de plaquettes jaunes de qualité moyenne, le départ du solvant s'effectuant vers 378 K. Contrairement au complexe semi-isomorphe (2:1) RU3763-toluène (Lepicard, Deletré, Mornon & Bally, 1983), les cristaux se désolvatent en quelques jours. En conséquence les mesures diffractométriques ont été effectuées sous capillaire avec un diffractomètre automatique Philips PW 1100 et la longueur d'onde Cu *Kα*. Le cristal utilisé avait pour dimensions 0,5 × 0,4 × 0,2 mm. La structure de ce complexe a été déterminée à l'aide du programme *MULTAN* (Germain, Main & Woolfson, 1971); plusieurs cartes de Fourier ont été nécessaires pour sélectionner la bonne solution.

L'affinement des positions atomiques et des paramètres d'agitation thermique a été effectué par moindres carrés.

L'importante agitation thermique du toluène a conduit à quelques difficultés concernant sa localisation précise et sa géométrie. Certains atomes d'hydrogène des molécules de RU2323 ont été positionnés sur série différence, les autres ont été positionnés théoriquement. Une partie de ces atomes a pu être affinée. La valeur relativement élevée de l'index *R* est à attribuer d'une part à une qualité cristalline très moyenne et d'autre part à l'agitation thermique affectant le toluène.\*

Tableau 1. *Paramètres atomiques définitifs, les coordonnées sont multipliées par 10<sup>4</sup>*

$$B_{\text{eq}} = \frac{4}{3} \sum_i \beta_{ii} / a_i^2.$$

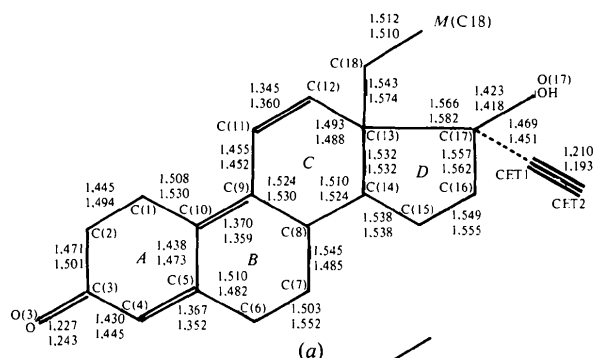
	<i>x</i>	<i>y</i>	<i>z</i>	<i>B</i> <sub>eq</sub> (Å <sup>2</sup> )
C(1A)	-244 (10)	1515 (5)	4107 (8)	6,1 (0,4)
C(2A)	-684 (11)	2179 (5)	3972 (11)	9,8 (0,7)
C(3A)	742 (9)	2612 (4)	3761 (6)	4,7 (0,4)
C(4A)	2566 (10)	2401 (5)	4089 (7)	5,3 (0,4)
C(5A)	3020 (8)	1828 (4)	4556 (6)	4,2 (0,3)
C(6A)	4978 (10)	1695 (5)	5020 (8)	5,9 (0,4)
C(7A)	5357 (8)	997 (5)	5051 (8)	5,5 (0,4)
C(8A)	4060 (7)	673 (4)	5698 (5)	3,6 (0,3)
C(9A)	2110 (7)	801	5165 (4)	3,1 (0,3)
C(10A)	1662 (8)	1362 (4)	4646 (5)	3,6 (0,3)
C(11A)	796 (8)	304 (4)	5232 (5)	3,5 (0,3)
C(12A)	1163 (8)	-246 (4)	5757 (5)	3,7 (0,3)
C(13A)	3022 (7)	-381 (4)	6356 (5)	3,4 (0,3)
C(14A)	4370 (7)	-32 (4)	5795 (5)	3,5 (0,3)
C(15A)	6224 (8)	-267 (5)	6376 (7)	5,4 (0,4)
C(16A)	5835 (11)	-971 (5)	6588 (10)	6,8 (0,5)
C(17A)	3752 (9)	-1072 (4)	6304 (6)	4,6 (0,3)
C(18A)	3127 (10)	-168 (5)	7523 (5)	4,8 (0,4)
M(C18A)	1585 (13)	-353 (7)	8077 (8)	7,1 (0,5)
C(ET1A)	3212 (11)	-1329 (5)	5223 (8)	6,2 (0,5)
C(ET2A)	2695 (18)	-1557 (6)	4351 (9)	9,5 (0,8)
O(3A)	351 (7)	3143 (4)	3402 (5)	6,2 (0,3)
O(17A)	3214 (7)	-1502 (4)	7047 (4)	5,4 (0,3)
C(1B)	5044 (9)	7594 (4)	9141 (6)	4,9 (0,4)
C(2B)	4851 (10)	7089 (5)	8310 (7)	5,9 (0,4)
C(3B)	6349 (11)	6611 (5)	8527 (7)	6,2 (0,4)
C(4B)	8132 (11)	6869 (5)	8898 (7)	5,4 (0,4)
C(5B)	8442 (9)	7473 (5)	9231 (5)	4,5 (0,3)
C(6B)	10314 (10)	7722 (5)	9483 (6)	5,2 (0,4)
C(7B)	10530 (9)	8211 (5)	10406 (6)	5,2 (0,4)
C(8B)	9169 (9)	8724 (5)	10162 (5)	4,0 (0,3)
C(9B)	7241 (8)	8475 (4)	9811 (4)	3,6 (0,3)
C(10B)	6936 (8)	7886 (4)	9394 (5)	3,8 (0,3)
C(11B)	5779 (8)	8882 (4)	10005 (6)	4,3 (0,3)
C(12B)	5975 (9)	9454 (5)	10502 (5)	4,5 (0,3)
C(13B)	7819 (8)	9718 (4)	10865 (5)	4,2 (0,3)
C(14B)	9184 (8)	9175 (4)	11096 (5)	4,0 (0,3)
C(15B)	10950 (10)	9498 (5)	11631 (7)	5,3 (0,4)
C(16B)	10283 (11)	10025 (5)	12318 (7)	5,7 (0,4)
C(17B)	8176 (9)	10049 (5)	11997 (5)	4,8 (0,3)
C(18B)	8278 (12)	10202 (5)	10013 (7)	5,7 (0,4)
M(C18B)	6835 (14)	10675 (5)	9564 (8)	7,3 (0,5)
C(ET1B)	7295 (11)	9698 (5)	12738 (6)	5,8 (0,4)
C(ET2B)	6505 (15)	9427 (6)	13336 (7)	7,8 (0,6)
O(3B)	6107 (8)	6037 (4)	8346 (7)	8,6 (0,4)
O(17B)	7640 (7)	10692 (4)	12000 (4)	5,9 (0,3)
C(1T)	-4349 (47)	7707 (11)	2413 (16)	23,7 (1,3)
C(2T)	-2846 (51)	7318 (14)	2353 (19)	20,0 (2,5)
C(3T)	-2692 (49)	6730 (15)	1817 (18)	27,0 (1,5)
C(4T)	-1420 (45)	6430 (20)	1850 (19)	25,0 (1,4)*
C(5T)	211 (38)	6607 (23)	2415 (21)	23,9 (1,8)
C(6T)	510 (60)	7166 (23)	3036 (42)	16,9 (1,6)
C(7T)	-1062 (23)	7407 (11)	2885 (11)	12,4 (1,2)

\* *B* isotrope.

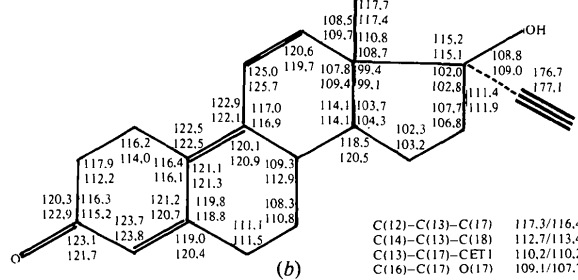
Le Tableau 1 donne la liste des paramètres atomiques définitifs.

**Discussion.** La Fig. 1 regroupe les valeurs numériques caractérisant la géométrie de la molécule de RU2323. L'examen des angles dièdres permet de constater d'importantes différences dans les conformations

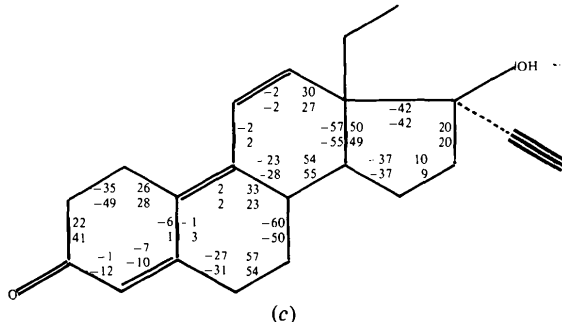
\* Les listes des facteurs de structure et des facteurs d'agitation thermique anisotrope ainsi que les coordonnées et les facteurs d'agitation thermique des atomes d'hydrogène ont été déposées au dépôt d'archives de la British Library Lending Division (Supplementary Publication No. SUP 38071: 21 pp.). On peut en obtenir des copies en s'adressant à: The Executive Secretary, International Union of Crystallography, 5 Abbey Square, Chester CH1 2HU, Angleterre.



(a)



(b)



(c)

Fig. 1. (a) Longueurs de liaisons en  $\text{\AA}$ ,  $\bar{\sigma} = 0,01 \text{\AA}$ . (b) Angles de valence en  $^\circ$ ,  $\bar{\sigma} = 0,8^\circ$ . (c) Angles de torsion en  $^\circ$ ,  $\bar{\sigma} = 2,0^\circ$ . Valeurs supérieures: molécule A, valeurs inférieures: molécule B. Les atomes C(1) et C(2) des molécules A et B sont, à des degrés divers, associés à un phénomène de 'flip-flap' (Deletré *et al.*, 1975) comme en témoignent les longueurs de la liaison covalente les reliant (1,44 et 1,49  $\text{\AA}$ ).

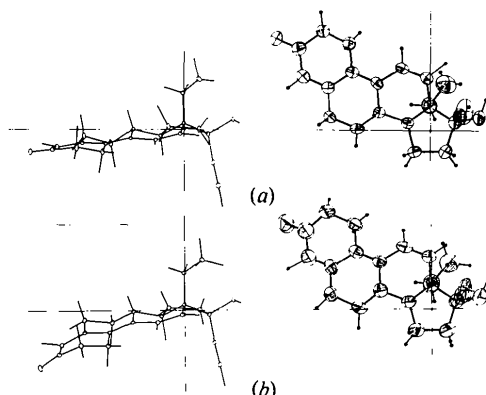


Fig. 2. Représentation des molécules dans le repère D (Mornon *et al.*, 1977). Tracés obtenus à l'aide du programme ORTEP (Johnson, 1965). (a) Molécule A, (b) molécule B.

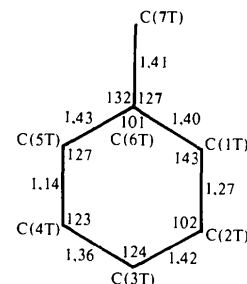


Fig. 3. Géométrie du toluène; longueurs de liaisons en  $\text{\AA}$ ,  $\bar{\sigma} = 0,25 \text{\AA}$ , et angles de valence en  $^\circ$ ,  $\bar{\sigma} = 20,0^\circ$ .

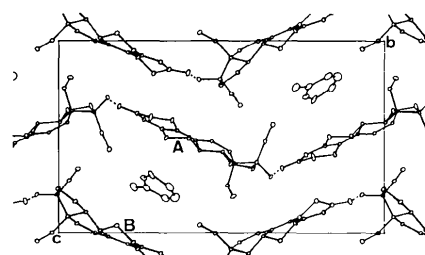


Fig. 4. Projection de la structure le long de l'axe *a*.

générales des deux molécules indépendantes (Fig. 2). Les deux groupes  $17\beta$ -OH sont en orientation OH1 (Mornon, Deletré, Lepicard, Bally, Surcouf & Bondot, 1977).

La Fig. 3 illustre la géométrie de la molécule de toluène; les écarts observés par rapport aux valeurs attendues sont la conséquence de la forte agitation des atomes du toluène dans le plan moyen de celui-ci. Il est en effet remarquable de constater que les positions affinées des atomes de cette molécule sont pratiquement coplanaires (écart max. 0,02  $\text{\AA}$  par rapport au plan moyen de ces atomes). L'examen des ellipsoïdes d'agitation thermique suggère un important mouvement de rotation du toluène autour de son centre d'où la difficulté de localisation de ces atomes.

La Fig. 4 illustre l'organisation de la structure cristalline; deux chaînes de molécules de stéroïde courant séparément le long des axes binaires hélicoïdaux parallèles à *b* en isolant des cavités où la molécule de toluène se trouve prise en sandwich. La cohésion de la chaîne de molécules *A* est assurée en partie par une liaison hydrogène O(17)-H(O17)...O(3) [2,74 (2)  $\text{\AA}$ , 171 (5) $^\circ$ ], celle de la chaîne de molécules *B* par une liaison homologue [2,86 (2)  $\text{\AA}$ , 166 (5) $^\circ$ ].

L'énergie d'interaction intermoléculaire de van der Waals calculée pour des contacts  $\leq 5,5 \text{\AA}$  avec les potentiels de Coiro, Giglio, Lucano & Puliti (1973) est de  $-118,02 \text{ kJ mol}^{-1}$  pour la molécule *A* et de  $-149,9 \text{ kJ mol}^{-1}$  pour la molécule *B*. Par comparaison, les valeurs homologues pour les deux molécules *A* et *B* de la première forme cristalline de RU2323 (Deletré *et al.*, 1975) sont de  $-146,6$  et de  $-156,2 \text{ kJ mol}^{-1}$ .

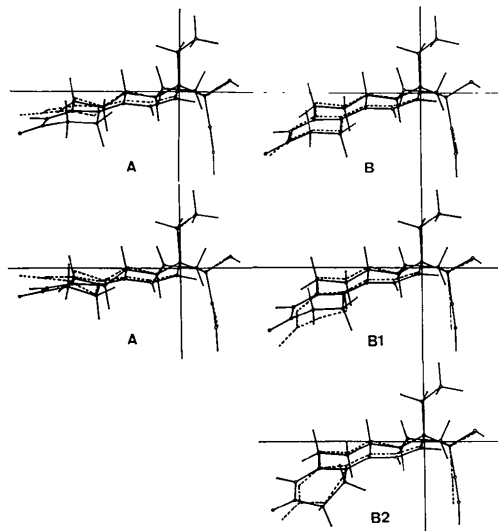


Fig. 5. Conformères isolés théoriques (traits pleins) et conformères cristallins (pointillés). A la partie supérieure sont représentées les molécules *A* et *B* du présent travail, à la partie inférieure les molécules *A* et *B1/B2* de la forme orthorhombique.

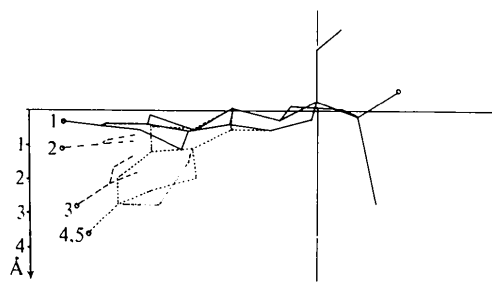


Fig. 6. Vue synthétique des cinq conformères cristallins, les numéros 1, 2, 3, 4, 5 correspondent respectivement aux conformères *A* (présent travail), *A* (forme orthorhombique), *B* (présent travail), *B1/B2* (forme orthorhombique).

*Acta Cryst.* (1982). **B38**, 2968–2970

## Hydroxy-17β Méthyl-17α Oxa-2 Estratriène-4,9,11 One-3, Forme 1

PAR GENEVIÈVE LEPICARD, JEAN DELETTRE ET JEAN-PAUL MORNON

Laboratoire de Minéralogie-Cristallographie, associé au CNRS, Université P. et M. Curie, T16, 4 place Jussieu, 75230 Paris CEDEX 05, France

(Reçu le 18 décembre 1979, accepté le 25 mai 1982)

**Abstract.** C<sub>18</sub>H<sub>22</sub>O<sub>3</sub>, monoclinic, space group *P*2<sub>1</sub>, *a* = 17.875 (2), *b* = 6.653 (2), *c* = 12.929 (2) Å, β = 92.15 (2)°, *D*<sub>x</sub> = 1.24 Mg m<sup>-3</sup>, *Z* = 4. The structure was solved by direct methods. Full-matrix least-squares refinement, with identical weights, converged at *R* = 0.055 and *R*<sub>w</sub> = 0.049 for 3220 reflexions considered

as observed. The two independent molecules, *A* and *B*, are linked together by hydrogen bonds O(17)*A*—H(O17)…O(3)*B* and O(17)*B*—HO(17)…O(3)*A*.

**Introduction.** L'étude du présent stéroïde (RU2999) s'inscrit dans le cadre général d'une investigation en